

ΦΥΣΙΚΗ. — Διερεύνησις τῆς μεταλλικῆς καταστάσεως τοῦ Βορίου διὰ τῶν ἀκτίνων - X. — ὑπὸ Καίσαρος Ἀλεξοπούλου καὶ Ἐλένης Σκουλούδη. Ἀνεκοινώθη ὑπὸ τοῦ κ. Κ. Ζέγγελη.

§ 1. Εἰσαγωγή.

Εἰς προηγουμένην ἀνακοίνωσιν τοῦ ἐνὸς ἐξ ἡμῶν (Κ. Α.),⁽¹⁾ ἀπεδόθη τύπος ἐπιτρέπων τὸν ὑπολογισμὸν τῆς ἐντάσεως τῆς ἀκτινοβολίας - X τῆς σκεδασθείσης ἐπὶ οὐσίας τινός, ἔχων:

$$I_{\text{OL.}} = I_{\text{σύμφ.}}^{\delta\text{έσμια } \eta\lambda.} + I_{\text{Ασύμφ.}}^{\delta\text{έσμια } \eta\lambda.} + I_{\text{Θερμ. } \kappa\text{ίνησις}}^{\delta\text{έσμια } \eta\lambda.} + I_{\text{Ασύμφ.}}^{''\text{Ελευθ. } \eta\lambda.} \quad [1]$$

Ο πρῶτος προσθετέος ἀποτελεῖται ἀπὸ σύμφωνον ἀκτινοβολίαν καὶ λαμβάνει, λόγῳ συμβολῆς, τιμὰς διαφόρους τοῦ μηδενὸς δι' ὧδισμένας μόνον διευθύνσεις, τὰς ὑπολογιζομένας ἐκ τῆς ἐξισώσεως τοῦ Bragg. Ο δεύτερος προσθετέος ἀποτελεῖται ἀπὸ ἀσύμφωνον ἀκτινοβολίαν, μὴ ἐπιδεκτικὴν συμβολῆς, καὶ ὃς ἐκ τούτου μεταβάλλεται διμαλῶς μετὰ τῆς γωνίας σκεδάσεως μὴ παρουσιάζων μέγιστα. Οὕτος προέρχεται ἐκ τοῦ ὅτι τὰ ἡλεκτρόνια τοῦ ἀτόμου καταλαμβάνουν πεπερασμένον χῶρον περὶ τὸν πυρῆνα. Ο τρίτος προσθετέος ἐμφανίζεται εἰς τὰς κρυσταλλικὰς οὐσίας καὶ προέρχεται ἐκ τῆς θερμικῆς κινήσεως τῶν ἀτόμων τοῦ πλέγματος. Καὶ ὁ προσθετέος οὗτος ἐμφανίζει μίαν σχετικῶς διμαλὴν κατανομὴν τῆς ἐντάσεως συναρτήσει τῆς γωνίας. Ο δείκτης «δέσμια» εἰς τοὺς τρεῖς ἀνωτέρω προσθετέους δηλοῦ ὅτι πρόκειται περὶ τῆς σκεδάσεως ἐπὶ τῶν δεσμίων ἡλεκτρονίων.

Ἐπειδὴ ἡ σκέδασις ἐπὶ τῶν ἐλευθέρων ἡλεκτρονίων, λόγῳ τῆς ἀπαγορεύσεως τοῦ Pauli, εἶναι οὖσιαδῶς διάφορος, πρέπει νὰ ὑπολογισθῇ αὗτη κεχωρισμένως εἰς τὸν τέταρτον προσθετέον

Αἱ ἀκριβεῖς ἐκφράσεις ἐνὸς ἑκάστου προσθετέου ἀποδίδονται λεπτομερῶς εἰς ἔτερον δημοσίευμα⁽²⁾ (διατριβὴ Ε. Σ.). Διὰ τὸν ἀκριβῆ ὑπολογισμὸν αὐτῶν ἀπαιτεῖται ἡ γνῶσις τῆς ἴδιουσυναρτήσεως ἐνὸς ἑκάστου ἡλεκτρονίου. Πρακτικῶς, εἰς τοὺς κρυστάλλους, ὁ ὑπολογισμὸς γίνεται ἐν προσεγγίσει διὰ διακρίσεως τῶν ἡλεκτρονίων εἰς τελείως δέσμια (ῶς εἶναι τὰ τῶν φλοιῶν τῶν ἐλειθέρων ἀτόμων) καὶ εἰς τελείως ἐλεύθερα (π. χ. τὸ ὑπόδειγμα τοῦ ὡς εἶναι ἡλεκτρονικοῦ ἀερίου τοῦ Fermi), ὅπότε ἀρκεῖ ἡ γνῶσις διὰ μὲν τὰ δέσμια ἡλεκτρόνια τοῦ παράγοντος μορφῆς, διὰ δὲ τὰ ἐλεύθερα τῆς πυκνότητος αὐτῶν.

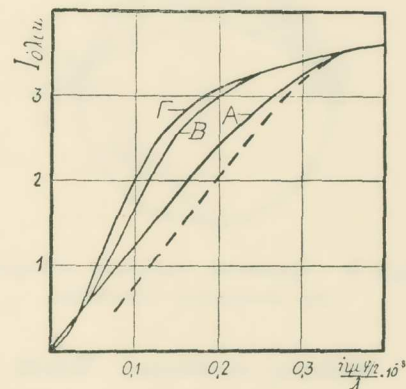
Δεδομένου ὅτι διὰ τοῦ ἄνω τύπου εἶναι δυνατὸν νὰ ὑπολογισθῇ ἡ ἐντασίς τῆς ἀκτινοβολίας τῆς σκεδαζομένης κατά τινα διεύθυνσιν, δηλαδὴ μέγεθος ἐπιδεχόμενον καὶ πειραματικὴν μέτρησιν, ἐθεωρήθη ἐνδιαφέρον νὰ γίνῃ ὁ ἔλεγχος τῆς

θεωρίας της σκεδάσεως δι' έφαρμογής αυτής έπι τοῦ βιορίου. Διὰ τοὺς παράγοντας μιρφῆς τῶν δεσμών ήλεκτρονίων τοῦ βιορίου ἔχονται ποιηθῆσαν αἱ τιμαὶ αἱ προκύπτουσαι ἐκ τῆς θεωρίας τοῦ αὐτοσυντηρήτου πεδίου τοῦ Hartree ὑπολογισθεῖσαι κατὰ τὸν τρόπον τὸν ὑποδεικνυόμενον ὑπὸ τῶν James καὶ Brindley.⁽³⁾ Ως πρὸς τὴν πυκνότητα τῶν ἐλεύθερων ήλεκτρονίων τοῦ βιορίου εἶναι δυνατὸν νὰ γίνουν διάφοροι παραδοχαί. Διὰ τὴν σύγκρισιν τῶν θεωρητικῶν ὑπολογισμῶν πρὸς τὰ ἀποτέλεσματα τῶν μετρήσεων παρεδέχθημεν τὰς ἔξης τρεῖς περιπτώσεις: α) ὅτι 3 ἐκ τῶν 5 ήλεκτρονίων τοῦ ἀτόμου τοῦ βιορίου εἶναι ἐλεύθερα, β) ὅτι ἐν μόνον εἶναι ἐλεύθερον καὶ γ) ὅτι δὲν ὑπάρχουν ἐλεύθερα ήλεκτρόνια. Δι' ἐκάστην τῶν τριῶν αὐτῶν περιπτώσεων ὑπελογίσθη ἐν συναρτήσει πρὸς τὸ $\frac{\eta\mu}{\lambda} \frac{\varphi/2}{\lambda}$ ἡ ὁλικὴ ἔντασις τῆς κατὰ διάχυτον τρόπον σκεδαζομένης ἀκτινοβολίας. Εἰς τὴν παρούσαν ἀνακοίνωσιν ἀποδίδεται κατ' εὐθείαν τὸ ἀποτέλεσμα, (Σχ. 1), καθ' ὅσον ἡ μεθοδος ἔχει περιγραφεῖ ἐπαρκῶς εἰς τὰς δύο προαναφερομένας δημοσιεύσεις.

Ως δεικνύει τὸ σχ. 1, εἰς τὴν περιοχὴν γωνιῶν μέχρι $\frac{\eta\mu}{\lambda} \frac{\varphi/2}{\lambda} = 0,35 \cdot 10^{-8}$ ὑπάρχει ἐπαρκὴς διαφορὰ μεταξὺ τῶν θεωρητικῶν καμπυλῶν διὰ τὰς τρεῖς περιπτώσεις ὥστε κατόπιν παραβολῆς πρὸς τὴν πειραματικὴν καμπύλην νὰ εἶναι δυνατὴ ἡ ἐκλογὴ μεταξὺ αὐτῶν.

§ 2. Πειράματα.

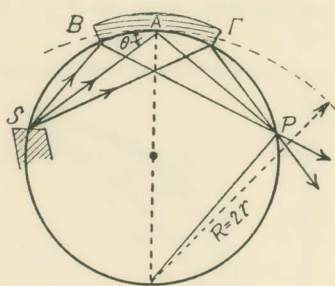
Ως προκύπτει ἐκ τῆς μελέτης τῆς ἔξισώσεως [1], εἶναι δυνατὸν νὰ ὑπολογίσωμεν τὴν ἔντασιν τῆς ἀκτινοβολίας τῆς σκεδασθείσης κατά τινα διεύθυνσιν, ὅταν εἶναι γνωστὴ ἡ ἐνεργητικὴ κατάστασις τῶν ήλεκτρονίων καὶ ἡ δομὴ τοῦ κρυσταλλικοῦ πλέγματος. Ὁταν ἐκ τούτων εἶναι γνωστὴ μόνον ἡ ἐνεργητικὴ κατάστασις τῶν ήλεκτρονίων τότε δυνάμεθα νὰ ὑπολογίσωμεν μόνον τὴν διαδρομὴν τοῦ συνεχοῦς ὑποστρώματος, χωρὶς νὰ δυνάμεθα νὰ ἀποφανθῶμεν περὶ τῶν γραμμῶν Debye – Scherrer. Ἀντιστρόφως, ὅταν γνωρίζωμεν τὴν κατανομὴν τοῦ συνεχοῦς ὑποστρώματος δυνάμεθα νὰ ἔξαγάγωμεν συμπεράσματα ὡς πρὸς τὴν ἐνεργητικὴν κατάστασιν τῶν ήλεκτρονίων. Ἐπειδὴ διὰ τὸ βόριον δὲν κατωρθῶμη ἀκόμη πλήρως ὁ προσδιορισμὸς τῆς κρυσταλλικῆς δομῆς περιοριζόμεθα ἀναγκαστικῶς εἰς τὴν μελέτην τοῦ συνεχοῦς ὑποστρώματος.



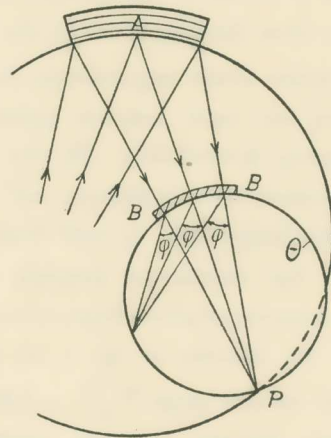
Σχῆμα 1. – Σύγκρισις τῆς πειραματικῆς καμπύλης (— — —) πρὸς τὰς θεωρητικάς. Γ, B, A, περιπτώσις οὐδενός, ἐνὸς καὶ τριῶν ἐλεύθερων ήλεκτρονίων.

Διὰ τὴν μελέτην τῆς κατανομῆς τοῦ συνεχοῦς οποστρώματος ἡργάσθημεν ὡς ἔξης: Ποσότης τις βορίου ἀκτινοβολεῖται ὑπὸ μονοχρωματικῶν ἀκτίνων – X τὰς ὅποιας σκεδάζει. Τὴν ἔντασιν τῆς πρὸς διαφόρους διευθύνσεις σκεδασθείσης ἀκτινοβολίας μετροῦμεν ἐκ τῆς μελανώσεως, τὴν ὅποιαν ἐπιφέρει αὗτη, ὅταν προσπέσῃ ἐπὶ φωτογραφικῆς ταινίας καταλλήλως τοποθετημένης.

Μονοχρωμάτωρ. Δεδομένου ὅτι διὰ τὸν ἄνω σκοπὸν ἀπαιτεῖται μονοχρωμάτωρ μεγάλης φωτεινότητος προεκρίθη ἡ μέθοδος τοῦ κεκαμμένου κρυστάλλου ὡς ἐφηρμόσθη μὲ λαμπρὰ ἀποτελέσματα ὑπὸ τοῦ Guinier, ⁽⁴⁾ (Σχ. 2).



Σχῆμα 2. – Σχηματικὴ παράστασις μονοχρωμάτωρος κεκαμμένου κρυστάλλου.



Σχῆμα 3. – Διάταξις τοῦ θαλάμου σκεδάσεως.

Θάλαμος σκεδάσεως. Ἐπειδὴ ὁ μονοχρωμάτωρ μᾶς δίδει δέσμην ἀκτίνων συγκλινοσῶν εἰς τὸ σημεῖον P, δὲν εἶναι δυνατὸν νὰ χρησιμοποιηθῇ συνήθης διάταξις θαλάμου σκεδάσεως Debye – Scherrer διὰ τὴν ὅποιαν αἱ προσπίπτουσαι ἀκτῖνες πρέπει νὰ εἶναι παράλληλοι. Εἰς τὴν παροῦσαν ἐργασίαν ἐχρησιμοποιήθη θάλαμος βασιζόμενος ἐπὶ τῆς ἀρχῆς τῶν Seemann ⁽⁵⁾ καὶ Bohlin ⁽⁶⁾, κατὰ τὴν ὅποιαν ἡ πρὸς ἔξετασιν οὐσία BB τοποθετεῖται ἐπὶ τμήματος περιφερείας κύκλου. Αἱ φωτίζουσαι τὸν θάλαμον Θ, (Σχ. 3), ἀκτῖνες πρέπει νὰ συγκλίνουν πρὸς σημεῖον τι τοῦ αὐτοῦ κύκλου, δόποτε, ὡς ἀποδεικνύεται γεωμετρικῶς, ὅλαι αἱ ἀκτῖνες αἱ σκεδαζόμεναι ὑπὸ τῆς οὖσίας BB κατὰ μίαν σταθερὰν γωνίαν φ, συγκλίνουν καὶ σχηματίζουν ἐστίαν ἐπὶ τοῦ αὐτοῦ κύκλου.

Ἐπὶ τῆς περιφερείας τοῦ θαλάμου προσηρμόσθη ἀφ' ἐνὸς τὸ πλαίσιον τὸ συγκρατοῦν τὸ πρὸς ἀκτινοβολίαν βόριον BB καὶ ἀφ' ἐτέρου δακτύλιος Δ, (Σχ. 5), συγκρατῶν τὴν φωτογραφικὴν ταινίαν τεταμμένην κατὰ μῆκος τῆς περιφερείας.

Σκεδάζουσα ουσία. Τὸ κατὰ τὰς μετρήσεις χρησιμοποιηθὲν βόριον ἀπεστάλη παρὰ τοῦ καθηγητοῦ Gudden ἐξ Erlangen τῆς Γερμανίας, εἰς μικρὰν πο-

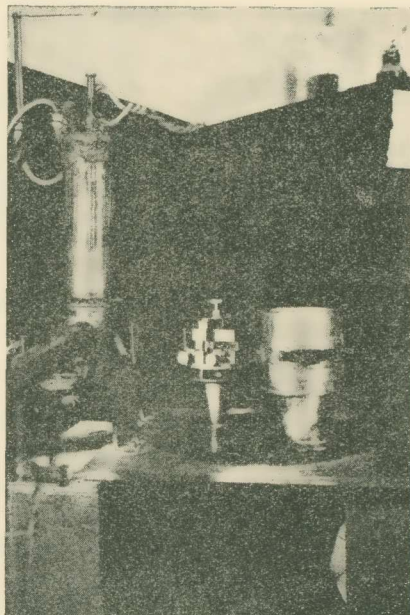
σότητα ($0,2 \text{ cm}^3$). Ή ποσότης αυτή παρασκευασθεῖσα εἰς κρυσταλλικὴν κατάστασιν κατὰ τὴν μέθοδον Weintraub εἶναι καθαρότητος 99, 97 %.

Συναρμολόγησις τῆς διατάξεως. Διὰ νὺ ἐπιτευχθῆ μία ἀκριβὴς δύναμις πρέπει ἡ λυχνία παραγωγῆς τῶν ἀκτίνων - X, ὁ μονοχρωμάτωρ καὶ ὁ θάλαμος σκεδάσεως νὰ εἶναι στερεῶς συνδεδεμένα. Τὴν ὅλην διάταξιν παριστοῦν τὰ σχ. 4 καὶ 5.

Πρὸς ἀποφυγὴν προσθέτου σκεδάσεως ἐπὶ τῶν μορίων τοῦ ἀέρος, ἡ ὅλη διάταξις, δηλαδὴ ὁ μονοχρωμάτωρ καὶ ὁ θάλαμος σκεδάσεως, ἐκαλύπτετο διὰ σιδηροῦ κώδωνος M φέροντος δύο παράθυρα ἐκ φύλλου σελλοφάνης διὰ τὴν εἴσοδον καὶ ἔξοδον τῆς ἀρχικῆς ἀκτινοβολίας. Ο κώδων ἦτο συνδεδεμένος μὲ ἀντλίαν διαχύσεως Hg, ὁ δὲ ἔλεγχος τοῦ κενοῦ ἐγίνετο διὰ σωληνίσκου ἥλεκτρικῆς ἐκκενώσεως. Ε προσηρμοσμένου εἰς τὸν κώδωνα.

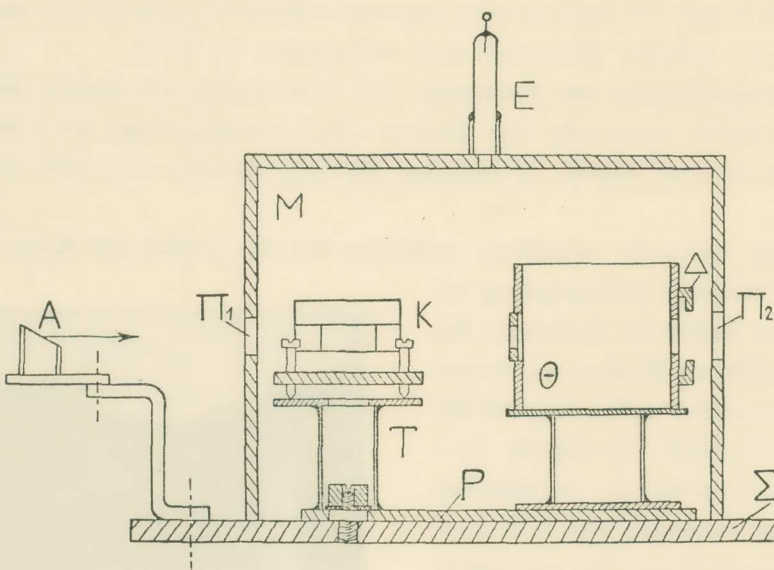
Ἐνθέσεις. Κατὰ τὰς γενομένας φωτογραφικὰς ἐκθέσεις ἔχονται μοποιήθη ἀκτινοβολία CuK_α ($\lambda = 1,54 \text{ Å}$) εἰς ἥλεκτρικὴν τάσιν 50 kV καὶ ἔντασιν 20 mA. Αἱ χρησιμοποιηθεῖσαι φωτογραφικὰ ταινίαι ἦσαν τύπου Agfa Röntgen - film superspecial, αἱ δὲ ἐκθέσεις ἦσαν διαρκείας 20 καὶ 60 δρῶν. Αἱ φωτογραφικὰ ταινίαι εὑρίσκοντο ἐντὸς φακέλλου ἐξ εἰδικοῦ μέλανος χάρτου. Οἱ φάκελοι ἐκρατοῦντο ἐπὶ τῆς ἔξωτερης ἐπιφανείας τοῦ θαλάμου σκεδάσεως δι' ὀρειχαλκίνων δακτυλίων Δ, (Σχ. 5), φερόντων κατάλληλον ἐκτομήν. Ή ἐπὶ ἐκάστης ἀκτινογραφίας μελανωθεῖσα λόγῳ τῆς σκεδάσεως τῶν ἀκτίνων ζώνη παρουσίαζε δακτυλίους Debye - Scherrer καὶ συνεχὲς ὑπόστρωμα μελανώσεως.

Καταμέτρησις τῆς μελανώσεως. Αἱ φωτογραφικὰ ταινίαι μικρεφωτογραφήθησαν διὰ διατάξεως περιλαμβανούσης φωτοκύτταρον προσηρμοσμένον εἰς μικροσκόπιον, τοῦ ὅποιου ἡ τράπεζα ἥδυνατο νὰ μετακινηθῇ μικρομετρικῶς.*



Σχῆμα 4. - Η συσκευὴ μετὰ τὴν ἀφαίρεσιν τοῦ κώδωνος.

* Η ἄνω μικροφωτομέτρησις ἐγένετο εἰς τὸ Ἰνστιτοῦτον Χημείας καὶ Γεωργίας «Νι-



Σχῆμα 5. - Διάταξις τῆς συσκευῆς

A = Ἀντικάθοδος.

K = Μονοχρωμάτωρ.

T = Τράπεζα στηρίξεως τοῦ μονοχρωμάτορος.

Θ = Θάλαμος σκεδάσεως.

Δ = Δακτύλιος πρόδος στήριξιν τῶν φωτογραφικῶν ταινιῶν.

M = Σιδηροῦς κώδων.

Π₁, Π₂ = Παράθυρα διὰ τὴν εἰσοδον καὶ ἔξοδον τῆς ἀκτινοβολίας.

P, **Σ** = Πλάκες στηρίξεως.

E = Σωληνίσκος διὰ τὸν ἔλεγχον τοῦ κενοῦ.

Διὰ νὰ εὐρεθῇ ἡ ἀντιστοιχία τῆς ἐντάσεως τοῦ ὁρεύματος τοῦ φωτοκυττάρου πρὸς τὴν ἐντασίν τῆς ἀκτινοβολίας – X τὴν προσπεσοῦσαν ἐπὶ τῆς φωτογραφικῆς ταινίας, ἔχρησιμο ποιήμῃ ἡ μέθοδος τοῦ σχηματισμοῦ ζωνῶν κλιμακωτῶν αὐξανομένης μελανώσεως τῇ βοηθείᾳ περιστρεφομένου τομέως — ⁽⁷⁾.

§ 3. Ἀποτελέσματα καὶ διερεύνησις.

Ἡ καμπύλη τοῦ σχήματος 6 ἀποδίδει τὰ ἀποτελέσματα τῆς φωτοιετρήσεως μιᾶς φωτογραφικῆς ταινίας χρόνου ἐκθέσεως 60 ὥρῶν. Ἡ τιμὴ τῆς ἐντάσεως ἐκάστης γραμμῆς δὲν κατωρθώθη νὰ προσδιορισθῇ ἀκριβῶς, διότι ἡ μελάνωσις

κόλαος Κανελλόπουλος» ὑπό τὴν ὄδηγίαν τοῦ καθηγητοῦ Dr. κ. G. - M. Schwab, πρὸς τὸν ὄποιον ἀς μᾶς ἐπιτραπῇ νὰ ἐκφράσωμεν καὶ ἀπὸ τῆς θέσεως ταύτης τὰς εὐχαριστίας μας.

τῶν γραμμῶν Debye – Scherrer εἶναι τόσον πολὺ μεγάλη, ώστε νὰ ὑπερβαίνῃ τὴν βαθμολογημένην περιοχὴν τοῦ μικροφωτομέτρου.

Ἡ στικτὴ καμπύλη, (Σχ. 6), ἐπὶ τῆς ὁποίας ἐπικάθηνται αἱ γραμμαὶ Debye – Scherrer, παριστᾶ τὴν κατανομὴν τῆς κατὰ διάχυτον τρόπον σκεδαζομένης ἀκτινοβολίας (συνεχὲς ὑπόστρωμα). Ἡ καμπύλη αὐτῇ πρὸ τῆς συγκρίσεώς της πρὸς τὰς θεωρητικὰς ὑπέστη διορθώσεις: α) λόγῳ τῆς μεταβλητῆς ἀποστάσεως τῆς φωτογραφικῆς ταινίας ἀπὸ τοῦ βιορίου καὶ β) λόγῳ τοῦ παράγοντος πολώσεως.

Τὸ τελικὸν ἀποτέλεσμα παρίσταται ἐπὶ τοῦ σχ. 1, ὅπου διὰ καταλλήλου ἀναγωγῆς ἀποδίδεται ἡ πειραματικὴ καμπύλη κατὰ τρόπον, ώστε νὰ συμπίπτῃ μετὰ τῶν θεωρητικῶν εἰς τὸ σημεῖον $\frac{\text{ημ}}{\lambda} = 0,34$, δηλαδὴ εἰς σημεῖον ὅπου συμπίπτουν αἱ τιμαὶ καὶ τῶν τριῶν θεωρητικῶν καμπύλων*. Ἐκ τῆς συγκρίσεως αὐτῆς προκύπτει ὅτι ἡ πειραματικὴ καμπύλη μετ' οὐδεμιᾶς τῶν θεωρητικῶν καμπύλων συμπίπτει ἀκριβῶς. Ἀναμφιβόλως δυμῶς δυνάμεθα νὰ θεωρήσωμεν τὴν καμπύλην τῶν τριῶν ἐλευθέρων ἡλεκτρονίων ως τὴν πλέον πλησιάζουσαν εἰς τὰς μετρήσεις.



Σχῆμα 6. – *Μικροφωτομετρικὴ καμπύλη.*

Ο ὑπολογισμὸς τῶν θεωρητικῶν καμπύλων ἐγένετο κατὰ προσέγγισιν καθ' ὅσον ἡ κινητικὴ κατάστασις τῶν δεσμών ἡλεκτρονίων ὑφίσταται τὴν ἐπίδρασιν τῆς γειτνιάσεως τῶν λοιπῶν ἀτόμων τοῦ πλέγματος καὶ διαιρέτει ἐκείνης, τὴν ὁποίαν εἶχον εἰς τὸ ἐλεύθερον ἄτομον. Ἐπίσης τὰ ἐλεύθερα ἡλεκτρόνια ως εὑρισκόμενα ἐντὸς τοῦ πλέγματος, δηλαδὴ ἐντὸς χώρου τοῦ ὁποίου τὸ δυναμικὸν κινητικόν περιοδικῶς, δὲν δύνανται νὰ θεωροῦνται πλέον ως τελείως ἐλεύθερα.

Ἐκ τῶν ἀνωτέρω συμπεραίνεται ὅτι ἡ πειραματικὴ καμπύλη θὰ ἡκολούθει πιστότερον τὴν καμπύλην τῶν τριῶν ἐλευθέρων ἡλεκτρονίων, μόνον ἐὰν τὰ τρία

* Ἡ πρὸς τὸ ἄκρον τῶν μεγάλων γωνιῶν ἐμφανιζομένη κύρτωσις τῆς καμπύλης δὲν εἶναι βέβαιον ἀν εἶναι πραγματική. Λόγῳ τῶν συνθηκῶν τοῦ παρελθόντος ἔτους δὲν ἦτο πλέον δυνατὴ ἡ λῆψις καὶ ἐτέρων ἀκτινογραφιῶν, αἱ ὁποῖαι θὰ διελεύκαινον τὸ σημεῖον τοῦτο.

(3) ἡλεκτρόνια σθένους συμπεριεφέροντο πράγματι ὡς πλήρως ἐλεύθερα ἡλεκτρόνια. Τὸ δὲ ἡ πειραματικῶς εὐρεθεῖσα καμπύλη ἀπλῶς μόνον πλησιάζει πρὸς τὴν θεωρητικὴν διὰ τρία ἐλεύθερα ἡλεκτρόνια δεικνύει διὰ τὰ τρία ἡλεκτρόνια σθένους τοῦ βορίου συμπεριφέρονται ὡς σχεδὸν ἐλεύθερα.

Τὸ ἀποτέλεσμα τοῦτο δυνάμεθα ἐν προκειμένῳ νὰ παραβάλωμεν πρὸς τὰ συμπεράσματα τὰ ἔξαγόμενα ἐκ τῆς μελέτης τῆς κινητικῆς καταστάσεως τῶν ἡλεκτρονίων τοῦ βορίου δι’ ἄλλων μεθόδων. Ἡ κινητικὴ κατάστασις τῶν ἡλεκτρονίων ἐνὸς κρυστάλλου δύναται νὰ ἐρευνηθῇ διὰ πολλῶν μεθόδων, ὡς τῆς ἀγωγιμότητος, τῆς λεπτῆς ὑφῆς τῶν γραμμῶν τοῦ φάσματος – X, τῆς ὑφῆς τῆς ἀκμῆς ἀπορροφήσεως, τῆς εἰδικῆς θερμότητος, τῶν μαγνητικῶν ἰδιοτήτων καὶ ἄλλων. Ἐνταῦθα περιοδιζόμεθα εἰς τὰς δύο πρώτας, διότι μόνον δι’ αὐτὰς ἔχουν γίνει τὰ σχετικὰ πειράματα διὰ τὸ βόριον.

Τὰ πρῶτα πειράματα ἐπὶ τῆς ἀγωγιμότητος τοῦ βορίου ἔδιδον τὴν ἐντύπωσιν διὰ πρόκειται περὶ ἡμιμονωτοῦ, καθ’ ὅσον ἡ εἰς χαμηλὰς θερμοκρασίας σχετικῶς μεγάλη ἀντίστασις ἐλαττοῦται κατὰ τὴν θέρμανσιν. Ἐν τούτοις, τελευταίως κατωρθώθη δι’ εἰδικῶν τρόπων ἡ παρασκευὴ δοκιμῶν ἐκ βορίου ἔχόντων μικρὰν ἀντίστασιν, διότε ἔξαγεται τὸ συμπέρασμα διὰ τὸ βόριον εἶναι καλὸς ἀγωγὸς καὶ διὰ ἡ συνήθως ἐμφανιζομένη μεγάλη ἀντίστασις ὀφείλεται εἰς λεπτὰ μονωτικὰ στρώματα (ἴσως ὀξείδια) χωρίζοντα τοὺς κρυσταλλίτας. Ἡ καλὴ αὕτη ἀγωγιμότης συμβιβάζεται πρὸς τὰ ἡμέτερα ἀποτελέσματα, ἀτινα δίδουν περιττὸν ἀριθμὸν ἐλευθέρων ἡλεκτρονίων. Ἐὰν ἀντιμέτως ἡ καλὴ ἀγωγιμότης τῶν ἀνωτέρω δοκιμῶν εὐρεθῇ διὰ ὀφείλεται εἰς ἄλλην ἀσχετον αἰτίαν, διότε τὸ βόριον θὰ ἔξακολουθῇ θεωρούμενον ὡς ἡμιμονωτής, τὰ δύο ἀντιφάσκοντα φαινόμενα, δηλαδὴ τῶν ἡμιμονωτικῶν ἰδιοτήτων καὶ τοῦ περιττοῦ ἀριθμοῦ ἡλεκτρονίων, συμβιβάζονται μόνον ἐὰν τὸ πλέγμα τοῦ βορίου εἶναι μοριακόν. Ἡ τελευταία αὕτη εἰκὼν εἶναι πιθανὴ καὶ ἐκ τῆς θέσεως τοῦ βορίου εἰς τὸ περιοδικὸν σύστημα, καὶ ἐκ τῶν ἐκτάκτως μεγάλων σταθερῶν τοῦ πλέγματος αὐτοῦ. Ἡ ἀποψίς αὕτη ἐνισχύεται καὶ ἐκ τοῦ ἐσχάτως παρατηρηθέντος σχηματισμοῦ μορίου εἰς τὴν ἀριόν κατάστασιν.⁽⁸⁾

Ἡ ὑφὴ τῆς γραμμῆς K τοῦ βορίου ἡρευνήθη ὑπὸ τοῦ O’ Bryan καὶ Skinner⁽⁹⁾ καὶ τοῦ Hautot καὶ Serpe.⁽¹⁰⁾ Οἱ πρῶτοι εὗρον τὸ σχῆμα τῆς γραμμῆς συμμετρικόν, ὅπερ συμβιβάζεται μὲ τὴν εἰκόνα ἐνὸς μονωτοῦ. Ἀντιμέτως ὁ Hautot καὶ ὁ Serpe εὗρον μορφὴν γραμμῆς ἀσύμμετρον ἔχουσαν ἀπότομον ὅριον πρὸς τὰ μικρὰ μήκη κύματος ὅπως ἀναμένεται δι’ ἕνα ἀγωγόν, Ἐπὶ πλέον τὸ πλάτος τῆς γραμμῆς εὐρέθη ὅσον θὰ ἀνεμένετο διὰ τρία ἐλεύθερα ἡλεκτρόνια κατ’ ἄτομον. Ἐπειδὴ τὰ πειράματα τοῦ O’ Bryan καὶ Skinner ἐγένοντο ἐπὶ λεπτοτάτων στιβάδων βορίου παραγθεισῶν δι’ ἔξαγνώσεως, ὅπου ὑπάρχει μεγαλυτέρα πιθανότης

δέξιειδώσεως τοῦ βιορίου ἢ καὶ λύσως σχηματισμὸς ἀμόρφου στρώματος κατὰ τὴν ἔξαγνωσιν, πρέπει νὰ προσδώσωμεν μεγαλυτέραν σημασίαν εἰς τὰ πειράματα τοῦ Hautot καὶ Serpe, οἱ δποῖοι μετεχειρίσθησαν βόριον εἰς κόκκους.

Τὸ συμπέρασμα τὸ προκῦπτον ἐκ τῶν ἀσφαλεστέρων πειραμάτων ἐπὶ τῆς ἀγωγιμότητος καὶ τῆς ὑφῆς τῆς γραμμῆς K ώς καὶ τῶν ἡμετέρων μετρήσεων ἐπὶ τῆς σκεδάσεως τῶν ἀκτίνων - X εἶναι ὅτι ὁ ἀριθμὸς τῶν ἐλευθέρων ἡλεκτρονίων τοῦ βιορίου εἶναι τρία (3).

Π Ε Ρ Ι Δ Η Ψ Ι Σ

Εἰς τὴν παροῦσαν ἐργασίαν ἐμετρήθη ἡ ἐπὶ τοῦ βιορίου κατὰ διαφόρους διευθύνσεις σκεδαζομένη ἐντασις τῶν ἀκτίνων - X. Διὰ τὸν μονοχρωματισμὸν τῶν ἀκτίνων ἐχρησιμοποιήθη ἡ μέθοδος τῆς ἀνακλάσεως ἐπὶ κεκαμένου κρυστάλλου. Ἡ ἐντασις τῆς σκεδασθείσης ἀκτινοβολίας ἐμετρήθη ἐντὸς θαλάμου Seemann - Bohlin διὰ τῆς φωτογραφικῆς μεθόδου. Ἡ προκύψασα κατανομὴ τῆς σκεδασθείσης ἐντάσεως συναρτήσει τῆς γωνίας, πλησάζει πρὸς τὴν θεωρητικῶς ἀναμενομένην διὰ τὴν περίπτωσιν τῶν τριῶν ἐλευθέρων ἡλεκτρονίων.

ΒΙΒΛΙΟΓΡΑΦΙΑ

1. K. ΑΛΕΞΟΠΟΥΛΟΣ, Πρακτ. Ἀκαδημίας Ἀθηνῶν 13, 540, 1938.
2. E. ΣΚΟΥΛΟΥΔΗ, Διατριβή, Ἀθῆναι 1941.
3. R. W. JAMES and G. W. BRINDLEY, Phil Mag. 12, 81, 1931.
4. A. GUINIER, Annales de Physique 12, 161, 1939.
5. H. SEEMANN, Annalen der Physik 59, 455, 1919.
6. BOHLIN, Annalen der Physik 61, 430, 1920.
7. Σ. ΠΕΡΙΣΤΕΡΑΚΗΣ, Διατριβή, Ἀθῆναι 1939.
8. A. DOUGLAS and G. HERZBERG, Canad. Journ. Res. 18, 165, 1940.
9. O' BRYAN and H. W. B. SKINNEE, Phys. Review 45, 370, 1934.
10. H. HAUTOT et J. SERPE, Journ. de Phys. et Ra. 8, 175, 1937.

(Ἐκ τοῦ Ἐργαστηρίου Φυσικῆς τοῦ Πανεπιστημίου Ἀθηνῶν).

RECHERCHE SUR LES ÉLECTRONS LIBRES DU BORE

RÉSUMÉ. — Dans la présente recherche on a mesuré l'intensité des rayons - X diffusés par un échantillon de bore. Le monochromatisme des rayons a été obtenu par la méthode du cristal courbé. L'intensité du rayonnement diffusé a été mesurée par voie photographique au moyen d'une chambre de diffraction Seemann - Bohlin. On a constaté que la répartition de l'intensité diffusée en fonction de l'angle est en accord avec les résultats obtenus par le calcul pour le cas d'un métal disposant trois électrons libres par atome.

(Laboratoire de Physique de l'Université d'Athènes. Le 30 Mars 1942).